

$^{176}\text{Yb}({}^9\text{Be},\text{xn}\gamma)$  1998Mu14

Type	Author	History Citation	Literature Cutoff Date
Full Evaluation	F. G. Kondev	NDS 159, 1 (2019)	30-Aug-2019

**1998Mu14:** Produced using the  $^{176}\text{Yb}({}^9\text{Be},\alpha 4n)$  reaction. Projectile:  ${}^9\text{Be}$ , E=70 MeV. Target:  $^{176}\text{Yb}$ , 4.6 mg/cm<sup>2</sup> thick and enriched to 96%. Detectors: six HPGe Compton-suppressed detectors and one (unsuppressed) planar germanium detector (LEPS), charged particle detector array consisting of 14 fast-slow plastic scintillators. Measured: E $\gamma$ , I $\gamma$ ,  $\gamma\gamma$  coin, particle- $\gamma\gamma$  coin,  $\gamma(t)$ ,  $\gamma\gamma(t)$ ,  $\gamma(\theta)$ , DCO ratios and ce. Deduced: level scheme, lifetimes, transition multipolarities,  $J^\pi$ ,  $K^\pi$ , and configurations.

[Additional information 1.](#)

 $^{177}\text{Hf}$  Levels

E(level) <sup>†</sup>	$J^\pi$ <sup>‡</sup>	$T_{1/2}$ <sup>#</sup>	Comments
0.0 <sup>@</sup>	7/2 <sup>-</sup>	stable	
112.87 <sup>@ 21</sup>	9/2 <sup>-</sup>		
249.58 <sup>@ 21</sup>	11/2 <sup>-</sup>		
321.16 <sup>&amp; 21</sup>	9/2 <sup>+</sup>		
409.23 <sup>@ 23</sup>	13/2 <sup>-</sup>		
426.46 <sup>&amp; 25</sup>	11/2 <sup>+</sup>		
508.1 <sup>a 3</sup>	5/2 <sup>-</sup>		
555.00 <sup>&amp; 23</sup>	13/2 <sup>+</sup>		
560 <sup>b</sup>	1/2 <sup>-</sup>		E(level), $J^\pi$ : From Adopted Levels.
567 <sup>c</sup>	(1/2 <sup>-</sup> )		E(level), $J^\pi$ : From Adopted Levels.
591.2 <sup>@ 3</sup>	15/2 <sup>-</sup>		
604.2 <sup>a 4</sup>	7/2 <sup>-</sup>		
608 <sup>c</sup>	(3/2 <sup>-</sup> )		E(level): From Adopted Levels.
624 <sup>b</sup>	(3/2 <sup>-</sup> )		<a href="#">Additional information 2.</a>
652 <sup>b</sup>	(5/2 <sup>-</sup> )		E(level): From Adopted Levels. <a href="#">Additional information 3.</a>
665 <sup>c</sup>	(5/2 <sup>-</sup> )		E(level): From Adopted Levels. <a href="#">Additional information 4.</a>
708.1 <sup>&amp; 3</sup>	15/2 <sup>+</sup>		E(level): From Adopted Levels.
726.9 <sup>a 4</sup>	9/2 <sup>-</sup>		
794.2 <sup>@ 3</sup>	17/2 <sup>-</sup>		
840.1 <sup>b 3</sup>	(7/2 <sup>-</sup> )		
841.5 <sup>c 3</sup>	(9/2 <sup>-</sup> )		
845.6 <sup>b 3</sup>	(9/2 <sup>-</sup> )		
882.5 <sup>&amp; 3</sup>	17/2 <sup>+</sup>		
1017.5 <sup>@ 4</sup>	19/2 <sup>-</sup>		
1086.5 <sup>&amp; 4</sup>	19/2 <sup>+</sup>		
1113.5 <sup>c 5</sup>	(13/2 <sup>-</sup> )		
1143.3 <sup>b 5</sup>	(13/2 <sup>-</sup> )		
1157.9 <sup>b 5</sup>	(11/2 <sup>-</sup> )		
1259.9 <sup>@ 5</sup>	21/2 <sup>-</sup>		
1300.9 <sup>&amp; 4</sup>	21/2 <sup>+</sup>		
1315.0 <sup>e 4</sup>	23/2 <sup>+</sup>	1.09 s 5	$J^\pi$ : From Adopted Levels.
1342.2 <sup>d 5</sup>	(19/2 <sup>-</sup> )	55.9 $\mu\text{s}$ 12	$J^\pi$ : From Adopted Levels.
1477.2 <sup>c 6</sup>	(17/2 <sup>-</sup> )		
1520.4 <sup>@ 5</sup>	23/2 <sup>-</sup>		

Continued on next page (footnotes at end of table)

$^{176}\text{Yb}(^9\text{Be},\text{xn}\gamma)$  **1998Mu14** (continued) $^{177}\text{Hf}$  Levels (continued)

E(level) <sup>†</sup>	J <sup>π</sup> <sup>‡</sup>	T <sub>1/2</sub> <sup>#</sup>	Comments
1534.9 <sup>b</sup> 6	(17/2 <sup>-</sup> )		
1560.8 <sup>&amp;</sup> 4	23/2 <sup>+</sup>		
1565.6 <sup>b</sup> 6	(15/2 <sup>-</sup> )		
1582.7 <sup>d</sup> 5	21/2 <sup>-</sup>		
1592.3 <sup>e</sup> 4	25/2 <sup>+</sup>		
1712.7 <sup>g</sup> 4	25/2 <sup>-</sup>	<1 ns	T <sub>1/2</sub> : From $\gamma\gamma(t)$ in <a href="#">1998Mu14</a> .
1797.8 <sup>@</sup> 6	25/2 <sup>-</sup>		
1802.5 <sup>&amp;</sup> 4	25/2 <sup>+</sup>		
1845.7 <sup>d</sup> 5	23/2 <sup>-</sup>		
1887.3 <sup>e</sup> 4	27/2 <sup>+</sup>		
1925.3 <sup>c</sup> 6	(21/2 <sup>-</sup> )		
1967.5 <sup>g</sup> 5	27/2 <sup>-</sup>		
2005.1 <sup>b</sup> 6	(21/2 <sup>-</sup> )		
2049.2 <sup>b</sup> 6	(19/2 <sup>-</sup> )		
2069.8 <sup>h</sup> 5	(23/2 <sup>-</sup> )		
2090.8 <sup>@</sup> 6	27/2 <sup>-</sup>		
2123.7 <sup>d</sup> 5	25/2 <sup>-</sup>		
2128.0 <sup>&amp;</sup> 5	27/2 <sup>+</sup>		
2198.7 <sup>e</sup> 5	29/2 <sup>+</sup>		
2248.9 <sup>g</sup> 5	29/2 <sup>-</sup>		
2335.4 <sup>h</sup> 5	(25/2 <sup>-</sup> )		
2377.5 <sup>&amp;</sup> 5	29/2 <sup>+</sup>		
2398.7 <sup>@</sup> 6	29/2 <sup>-</sup>		
2409.1 <sup>i</sup> 5	(27/2 <sup>-</sup> )		
2416.3 <sup>d</sup> 6	27/2 <sup>-</sup>		
2417.5 5	(27/2 <sup>-</sup> )		
2451.4 <sup>c</sup> 7	(25/2 <sup>-</sup> )		
2525.1 <sup>e</sup> 5	31/2 <sup>+</sup>		
2539.1 <sup>b</sup> 7	(25/2 <sup>-</sup> )		
2554.2 <sup>g</sup> 5	31/2 <sup>-</sup>		
2590.8 <sup>b</sup> 7	(23/2 <sup>-</sup> )		
2614.9 <sup>h</sup> 5	(27/2 <sup>-</sup> )		
2699.7 <sup>i</sup> 5	(29/2 <sup>-</sup> )		
2719.7 <sup>@</sup> 7	31/2 <sup>-</sup>		
2724.2 <sup>d</sup> 6	29/2 <sup>-</sup>		
2739.1 <sup>k</sup> 5	37/2 <sup>-</sup>	51.4 min 5	J <sup>π</sup> : From Adopted Levels.
2782.6 <sup>&amp;</sup> 6	31/2 <sup>+</sup>		
2865.0 <sup>e</sup> 5	33/2 <sup>+</sup>		
2872.9 <sup>f</sup> 5	(29/2 <sup>+</sup> )		
2881.5 <sup>g</sup> 5	33/2 <sup>-</sup>		
2896.3 <sup>j</sup> 6	(31/2 <sup>-</sup> )		
2908.5 <sup>h</sup> 6	(29/2 <sup>-</sup> )		
2935.6 <sup>m</sup> 6	(33/2 <sup>-</sup> )		
3015.3 <sup>&amp;</sup> 6	33/2 <sup>+</sup>		
3047.1 <sup>d</sup> 6	(31/2 <sup>-</sup> )		
3053.3 <sup>@</sup> 7	33/2 <sup>-</sup>		
3104.8 <sup>l</sup> 6	39/2 <sup>+</sup>	<1 ns	T <sub>1/2</sub> : From <a href="#">1998Mu14</a> .

Continued on next page (footnotes at end of table)

$^{176}\text{Yb}(^9\text{Be},\text{xn}\gamma)$  **1998Mu14** (continued) $^{177}\text{Hf}$  Levels (continued)

E(level) <sup>†</sup>	J <sup>π</sup> <sup>‡</sup>	E(level) <sup>†</sup>	J <sup>π</sup> <sup>‡</sup>	E(level) <sup>†</sup>	J <sup>π</sup> <sup>‡</sup>	E(level) <sup>†</sup>	J <sup>π</sup> <sup>‡</sup>
3133.5 <sup>b</sup> 8	(29/2 <sup>-</sup> )	3302.1 <sup>m</sup> 7	(35/2 <sup>-</sup> )	3592.9 <sup>g</sup> 6	37/2 <sup>-</sup>	4120.7 <sup>@</sup> 8	39/2 <sup>-</sup>
3140.7 <sup>k</sup> 6	39/2 <sup>-</sup>	3398.5 <sup>@</sup> 7	35/2 <sup>-</sup>	3685.4 <sup>m</sup> 7	(37/2 <sup>-</sup> )	4231.0 <sup>l</sup> 7	45/2 <sup>+</sup>
3216.9 <sup>e</sup> 5	35/2 <sup>+</sup>	3464.6 <sup>l</sup> 6	41/2 <sup>+</sup>	3702.9 <sup>&amp;</sup> 7	37/2 <sup>+</sup>	4459.1 <sup>k</sup> 6	45/2 <sup>-</sup>
3217.1 <sup>h</sup> 6	(31/2 <sup>-</sup> )	3517.3 <sup>&amp;</sup> 6	35/2 <sup>+</sup>	3753.3 <sup>@</sup> 8	37/2 <sup>-</sup>	4497.4 <sup>@</sup> 8	41/2 <sup>-</sup>
3221.5 <sup>f</sup> 6	(31/2 <sup>+</sup> )	3561.8 <sup>k</sup> 6	41/2 <sup>-</sup>	3839.7 <sup>l</sup> 6	43/2 <sup>+</sup>	4639.4 <sup>l</sup> 7	(47/2 <sup>+</sup> )
3228.4 <sup>g</sup> 6	35/2 <sup>-</sup>	3578.6 <sup>e</sup> 5	37/2 <sup>+</sup>	3948.0 <sup>e</sup> 6	39/2 <sup>+</sup>	5063.7 <sup>l</sup> 7	49/2 <sup>+</sup>
3236.9 <sup>j</sup> 7	(33/2 <sup>-</sup> )	3581.6 <sup>f</sup> 7	(33/2 <sup>+</sup> )	4001.4 <sup>k</sup> 6	43/2 <sup>-</sup>		

<sup>†</sup> From a least-squares fit to E<sub>γ</sub>, unless otherwise stated.

<sup>‡</sup> From **1998Mu14**, based on the measured angular distributions and DCO data, the apparent band structures with both cascade (ΔJ=1) and crossover (ΔJ=2) transitions, and the complex γ-ray decay pattern.

# From Adopted Levels, unless otherwise stated.

@ Band(A): K<sup>π</sup>=7/2<sup>-</sup>, ν7/2[514] band.

& Band(B): K<sup>π</sup>=9/2<sup>+</sup>, ν9/2[624] band.

<sup>a</sup> Band(C): K<sup>π</sup>=5/2<sup>-</sup>, ν5/2[512] band. The assignment is tentative.

<sup>b</sup> Band(D): K<sup>π</sup>=1/2<sup>-</sup>, ν1/2[521] band.

<sup>c</sup> Band(E): K<sup>π</sup>=(1/2<sup>-</sup>), ν1/2[510] band.

<sup>d</sup> Band(F): K<sup>π</sup>=19/2<sup>-</sup>, ν(7/2[514])⊗π<sup>2</sup>(5/2[402],7/2[404]).

<sup>e</sup> Band(G): K<sup>π</sup>=23/2<sup>+</sup>, ν(7/2[514])⊗π<sup>2</sup>(7/2[404],9/2[514]).

<sup>f</sup> Band(H): K<sup>π</sup>=(29/2<sup>+</sup>), ν(7/2[514])⊗π<sup>4</sup>(1/2[411],5/2[402],7/2[404],9/2[514]).

<sup>g</sup> Band(I): K<sup>π</sup>=25/2<sup>-</sup>, ν(9/2[624])⊗π<sup>2</sup>(7/2[404],9/2[514]).

<sup>h</sup> Band(J): K<sup>π</sup>=(23/2<sup>-</sup>). See **1998Mu14** for details.

<sup>i</sup> Band at 2409 keV.

<sup>j</sup> Band at 2896 keV.

<sup>k</sup> Band(K): K<sup>π</sup>=37/2<sup>-</sup>, ν<sup>3</sup>(5/2[512],7/2[514],9/2[624])⊗π<sup>2</sup>(7/2[404],9/2[514]).

<sup>l</sup> Band(L): K<sup>π</sup>=39/2<sup>+</sup>, ν<sup>3</sup>(7/2[514],7/2[633],9/2[624])⊗π<sup>2</sup>(7/2[404],9/2[514]).

<sup>m</sup> Band(M): K<sup>π</sup>=(33/2<sup>-</sup>), ν<sup>3</sup>(1/2[521],7/2[514],9/2[624])⊗π<sup>2</sup>(7/2[404],9/2[514]).

γ(<sup>177</sup>Hf)

Mixing ratios were deduced using the branching ratio data and the rotational model, and by assuming a pure K. The sign of delta is determined from γ(θ). It is assumed that the sign of δ does not change within a given band.

E <sub>γ</sub> <sup>†</sup>	I <sub>γ</sub> <sup>†</sup>	E <sub>i</sub> (level)	J <sub>i</sub> <sup>π</sup>	E <sub>f</sub>	J <sub>f</sub> <sup>π</sup>	Mult. <sup>‡</sup>	Comments
74.3 3	3.7 4	2409.1	(27/2 <sup>-</sup> )	2335.4	(25/2 <sup>-</sup> )		
82.2 3	10.7 8	2417.5	(27/2 <sup>-</sup> )	2335.4	(25/2 <sup>-</sup> )		
96.4 3	3.6 10	604.2	7/2 <sup>-</sup>	508.1	5/2 <sup>-</sup>		
105.3 3	105 4	426.46	11/2 <sup>+</sup>	321.16	9/2 <sup>+</sup>	M1+E2	Mult.: A <sub>2</sub> =-0.25 2; DCO(ΔJ=2)=0.40 6; DCO(ΔJ=1)=0.40 4.
112.9 3	995 24	112.87	9/2 <sup>-</sup>	0.0	7/2 <sup>-</sup>	M1+E2	Mult.: A <sub>2</sub> =-0.13 1, DCO(ΔJ=2)=0.55 7 and DCO(ΔJ=1)=0.67 11.
116.5 3	1.9 6	708.1	15/2 <sup>+</sup>	591.2	15/2 <sup>-</sup>		
120.4 3	389 13	1712.7	25/2 <sup>-</sup>	1592.3	25/2 <sup>+</sup>	E1	Mult.: A <sub>2</sub> =+0.31 1; DCO(ΔJ=1)=0.97 3.
123.1 3	2.2 8	726.9	9/2 <sup>-</sup>	604.2	7/2 <sup>-</sup>		
128.4 3	126 4	555.00	13/2 <sup>+</sup>	426.46	11/2 <sup>+</sup>	M1+E2	δ: -0.38 1, assuming K=9/2.

Continued on next page (footnotes at end of table)

$^{176}\text{Yb}(^9\text{Be},\text{xn}\gamma)$  **1998Mu14 (continued)**

$\gamma(^{177}\text{Hf})$  (continued)

$E_\gamma$ †	$I_\gamma$ †	$E_i(\text{level})$	$J_i^\pi$	$E_f$	$J_f^\pi$	Mult. ‡	Comments
136.6 3	78 4	249.58	11/2 <sup>-</sup>	112.87	9/2 <sup>-</sup>	M1+E2	Mult.: $A_2=-0.53$ 2; DCO( $\Delta J=2$ )=0.63 7; DCO( $\Delta J=1$ )=0.50 5. $\delta$ : -2.30 21, assuming K=7/2.
145.7693 7	1.5 8	555.00	13/2 <sup>+</sup>	409.23	13/2 <sup>-</sup>		Mult.: $A_2=-0.41$ 2; DCO( $\Delta J=2$ )=0.46 6; DCO( $\Delta J=1$ )=0.81 10. $E_\gamma$ : From adopted gammas. Note, that $E_\gamma=153.3$ keV is reported by 1998Mu14, but it does not fit the level scheme.
153.1 3	120 4	708.1	15/2 <sup>+</sup>	555.00	13/2 <sup>+</sup>	M1+E2	$\delta$ : -0.38 1, assuming K=9/2. Mult.: $A_2=-0.52$ 2; DCO( $\Delta J=2$ )=0.35 10; DCO( $\Delta J=1$ )=0.50 3.
159.6 3	26.8 13	409.23	13/2 <sup>-</sup>	249.58	11/2 <sup>-</sup>	M1+E2	$\delta$ : -2.79 18, assuming K=7/2. Mult.: $A_2=-0.12$ 4; DCO( $\Delta J=2$ )=0.71 9.
174.3 3	94 3	882.5	17/2 <sup>+</sup>	708.1	15/2 <sup>+</sup>	M1+E2	$\delta$ : -0.36 1, assuming K=9/2. Mult.: $A_2=-0.47$ 3; DCO( $\Delta J=2$ )=0.53 9; DCO( $\Delta J=1$ )=0.46 3.
176.5 3	27.7 19	841.5	(9/2 <sup>-</sup> )	665	(5/2 <sup>-</sup> )		
176.9 3	34.8 16	426.46	11/2 <sup>+</sup>	249.58	11/2 <sup>-</sup>		
181.8 3	16.3 10	591.2	15/2 <sup>-</sup>	409.23	13/2 <sup>-</sup>	M1+E2	$\delta$ : -4.02 29, assuming K=7/2. Mult.: DCO( $\Delta J=2$ )=0.51 13.
193.6 3	24.0 19	845.6	(9/2 <sup>-</sup> )	652	(5/2 <sup>-</sup> )		
196.5 3	12.9 22	2935.6	(33/2 <sup>-</sup> )	2739.1	37/2 <sup>-</sup>		
196.6 3	52.8 19	2896.3	(31/2 <sup>-</sup> )	2699.7	(29/2 <sup>-</sup> )	M1(+E2)	Mult.: $A_2=-0.28$ 2; DCO( $\Delta J=1$ )=0.64 6.
203.0 3	10.1 9	794.2	17/2 <sup>-</sup>	591.2	15/2 <sup>-</sup>	[M1+E2]	$\delta$ : -14.9 14, assuming K=7/2.
204.0 3	68.6 24	1086.5	19/2 <sup>+</sup>	882.5	17/2 <sup>+</sup>	M1+E2	$\delta$ : -0.40 1, assuming K=9/2. Mult.: $A_2=-0.48$ 3; DCO( $\Delta J=2$ )=0.54 7; DCO( $\Delta J=1$ )=0.42 4.
208.3 3	608 21	321.16	9/2 <sup>+</sup>	112.87	9/2 <sup>-</sup>	E1	Mult.: $A_2=+0.26$ 1; DCO( $\Delta J=2$ )=0.96 12; DCO( $\Delta J=1$ )=1.10 7.
214.0 1		2739.1	37/2 <sup>-</sup>	2525.1	31/2 <sup>+</sup>	E3	$E_\gamma$ , Mult.: From adopted gammas.
214.3 3	42.9 18	1300.9	21/2 <sup>+</sup>	1086.5	19/2 <sup>+</sup>	M1+E2	$\delta$ : -0.35 1, assuming K=9/2. Mult.: DCO( $\Delta J=2$ )=0.53 14; DCO( $\Delta J=1$ )=0.34 6.
216.1 3	16.0 10	840.1	(7/2 <sup>-</sup> )	624	(3/2 <sup>-</sup> )		
218.5 3	3.3 12	726.9	9/2 <sup>-</sup>	508.1	5/2 <sup>-</sup>		
223.3 3	6.0 7	1017.5	19/2 <sup>-</sup>	794.2	17/2 <sup>-</sup>	[M1+E2]	$\delta$ : -5.1 6, assuming K=7/2.
228.4838 6		1315.0	23/2 <sup>+</sup>	1086.5	19/2 <sup>+</sup>		$E_\gamma$ : From adopted gammas.
233.8 3	48.4 20	555.00	13/2 <sup>+</sup>	321.16	9/2 <sup>+</sup>	(E2)	Mult.: $A_2=+0.03$ 2. Value in disagreement with that expected for a stretched E2 transition. DCO( $\Delta J=2$ )=1.2 3.
240.6 3	63 3	1582.7	21/2 <sup>-</sup>	1342.2	(19/2 <sup>-</sup> )		
241.8 3	10.3 17	1802.5	25/2 <sup>+</sup>	1560.8	23/2 <sup>+</sup>		$\delta$ : -0.40 2, assuming K=9/2. $I_\gamma$ : From $I_\gamma(242\gamma)/I_\gamma(502\gamma)=8.1$ 7 and $I_\gamma(502\gamma)=83$ 3 (1998Mu14).
249.4 3	4.8 9	2377.5	29/2 <sup>+</sup>	2128.0	27/2 <sup>+</sup>	[M1+E2]	$\delta$ : -0.27 2, assuming K=9/2. $I_\gamma$ : From $I_\gamma(249\gamma)/I_\gamma(575\gamma)=9.7$ 17 and $I_\gamma(515\gamma)=46.7$ 21 (1998Mu14).
249.6 3	412 28	249.58	11/2 <sup>-</sup>	0.0	7/2 <sup>-</sup>	E2	Mult.: $A_2=+0.14$ 1; DCO( $\Delta J=2$ )=0.94 6.
254.8 3	291 9	1967.5	27/2 <sup>-</sup>	1712.7	25/2 <sup>-</sup>	M1+E2	Mult.: $A_2=+0.25$ 1; DCO( $\Delta J=1$ )=0.95 8.
260.0 3	17.8 10	1560.8	23/2 <sup>+</sup>	1300.9	21/2 <sup>+</sup>	M1+E2	$\delta$ : -0.50 2, assuming K=9/2. Mult.: DCO( $\Delta J=2$ )=0.46 11.
263.0 3	53 3	1845.7	23/2 <sup>-</sup>	1582.7	21/2 <sup>-</sup>	[M1+E2]	$\delta$ : 0.30 6, assuming K=19/2.
266.0# 3		2335.4	(25/2 <sup>-</sup> )	2069.8	(23/2 <sup>-</sup> )		
272.0 3	27.7 19	1113.5	(13/2 <sup>-</sup> )	841.5	(9/2 <sup>-</sup> )		
277.3 3	637 15	1592.3	25/2 <sup>+</sup>	1315.0	23/2 <sup>+</sup>	M1+E2	Mult.: $A_2=+0.16$ 1; DCO( $\Delta J=1$ )=0.88 7.
278.2 3	25.8 22	2123.7	25/2 <sup>-</sup>	1845.7	23/2 <sup>-</sup>	[M1+E2]	$\delta$ : 0.36 3, assuming K=19/2.
280.0# 3		2614.9	(27/2 <sup>-</sup> )	2335.4	(25/2 <sup>-</sup> )		

Continued on next page (footnotes at end of table)

$^{176}\text{Yb}(^9\text{Be},\text{xn}\gamma)$  **1998Mu14 (continued)** $\gamma(^{177}\text{Hf})$  (continued)

$E_\gamma$ †	$I_\gamma$ †	$E_i(\text{level})$	$J_i^\pi$	$E_f$	$J_f^\pi$	Mult. ‡	Comments
281.4 3	152 5	2248.9	29/2 <sup>-</sup>	1967.5	27/2 <sup>-</sup>	M1+E2	$\delta$ : +0.47 2, assuming K=25/2. Mult.: $A_2=+0.20$ 4; DCO( $\Delta J=1$ )=0.90 5. Mult.: $A_2=+0.30$ 2; DCO( $\Delta J=1$ )=1.14 22.
281.8 3	103 4	708.1	15/2 <sup>+</sup>	426.46	11/2 <sup>+</sup>	E2	
282.3 3	3.9 9	2699.7	(29/2 <sup>-</sup> )	2417.5	(27/2 <sup>-</sup> )		
290.8 3	42.8 18	2699.7	(29/2 <sup>-</sup> )	2409.1	(27/2 <sup>-</sup> )	M1(+E2)	Mult.: DCO( $\Delta J=1$ )=0.75 13.
292.6 3	12.4 14	2416.3	27/2 <sup>-</sup>	2123.7	25/2 <sup>-</sup>	[M1+E2]	$\delta$ : 0.41 4, assuming K=19/2.
293.0 # 3		2908.5	(29/2 <sup>-</sup> )	2614.9	(27/2 <sup>-</sup> )		
295.1 3	204 8	1887.3	27/2 <sup>+</sup>	1592.3	25/2 <sup>+</sup>	M1+E2	$\delta$ : +0.31 2, assuming K=23/2. Mult.: $A_2=+0.18$ 3; DCO( $\Delta J=1$ )=0.77 4. Mult.: $A_2=+0.25$ 2; DCO( $\Delta J=2$ )=0.95 4; DCO( $\Delta J=1$ )=1.01 9.
296.5 3	309 12	409.23	13/2 <sup>-</sup>	112.87	9/2 <sup>-</sup>	E2	
297.7 3	24.4 19	1143.3	(13/2 <sup>-</sup> )	845.6	(9/2 <sup>-</sup> )		
305.4 3	72 3	2554.2	31/2 <sup>-</sup>	2248.9	29/2 <sup>-</sup>	M1+E2	$\delta$ : +0.43 2, assuming K=25/2. Mult.: DCO( $\Delta J=1$ )=0.90 6.
308.1 3	11.9 13	2724.2	29/2 <sup>-</sup>	2416.3	27/2 <sup>-</sup>	[M1+E2]	$\delta$ : 0.41 4, assuming K=19/2.
308.6 # 3	1.4 7	3217.1	(31/2 <sup>-</sup> )	2908.5	(29/2 <sup>-</sup> )		
311.5 3	128 5	2198.7	29/2 <sup>+</sup>	1887.3	27/2 <sup>+</sup>	M1+E2	$\delta$ : +0.36 2, assuming K=23/2. Mult.: DCO( $\Delta J=1$ )=0.74 5.
317.8 3	15.6 17	1157.9	(11/2 <sup>-</sup> )	840.1	(7/2 <sup>-</sup> )		
321.1 3	16 6	321.16	9/2 <sup>+</sup>	0.0	7/2 <sup>-</sup>	[E1]	Mult.: $A_2=+0.47$ 7. Value in disagreement with that expected for a pure J to J-1 E1 transition.
323.2 3	5.7 10	3047.1	(31/2 <sup>-</sup> )	2724.2	29/2 <sup>-</sup>	[M1+E2]	$\delta$ : 0.33 5, assuming K=19/2.
325.4 3	6.1 12	2128.0	27/2 <sup>+</sup>	1802.5	25/2 <sup>+</sup>	[M1+E2]	$\delta$ : -0.61 7, assuming K=9/2. $I_\gamma$ : From $I_\gamma(325\gamma)/I_\gamma(567\gamma)=8.2$ 16 and $I_\gamma(567\gamma)=50.0$ 21 ( <b>1998Mu14</b> ).
326.5 3	79 3	2525.1	31/2 <sup>+</sup>	2198.7	29/2 <sup>+</sup>	M1+E2	$\delta$ : +0.30 1, assuming K=23/2. Mult.: DCO( $\Delta J=1$ )=0.78 6.
327.3 3	31.3 16	2881.5	33/2 <sup>-</sup>	2554.2	31/2 <sup>-</sup>	M1+E2	$\delta$ : +0.50 2, assuming K=25/2. Mult.: DCO( $\Delta J=1$ )=0.85 14.
327.7 3	133 5	882.5	17/2 <sup>+</sup>	555.00	13/2 <sup>+</sup>	E2	Mult.: $A_2=+0.18$ 2; DCO( $\Delta J=2$ )=0.84 22; DCO( $\Delta J=1$ )=1.26 14.
339.4 3	8.2 9	2409.1	(27/2 <sup>-</sup> )	2069.8	(23/2 <sup>-</sup> )		
340.1 3	40.4 20	2865.0	33/2 <sup>+</sup>	2525.1	31/2 <sup>+</sup>	M1+E2	$\delta$ : +0.26 1, assuming K=23/2. Mult.: DCO( $\Delta J=1$ )=0.96 10.
340.6 3	12.3 11	3236.9	(33/2 <sup>-</sup> )	2896.3	(31/2 <sup>-</sup> )		
341.6 3	300 10	591.2	15/2 <sup>-</sup>	249.58	11/2 <sup>-</sup>	E2	Mult.: $A_2=+0.29$ 2; DCO( $\Delta J=2$ )=0.96 6; DCO( $\Delta J=1$ )=0.83 8.
346.9 3	12.8 9	3228.4	35/2 <sup>-</sup>	2881.5	33/2 <sup>-</sup>	M1+E2	$\delta$ : +0.51 3, assuming K=25/2. Mult.: $A_2=+0.46$ 11; DCO( $\Delta J=1$ )=0.89 22.
348.6 3	9.8 12	3221.5	(31/2 <sup>+</sup> )	2872.9	(29/2 <sup>+</sup> )		
351.9 3	25.7 15	3216.9	35/2 <sup>+</sup>	2865.0	33/2 <sup>+</sup>	M1+E2	$\delta$ : +0.21 1, assuming K=23/2. Mult.: DCO( $\Delta J=1$ )=0.82 15.
357.1 3	32.2 20	2069.8	(23/2 <sup>-</sup> )	1712.7	25/2 <sup>-</sup>		
359.8 3	77 4	3464.6	41/2 <sup>+</sup>	3104.8	39/2 <sup>+</sup>	M1+E2	Mult.: $A_2=+0.17$ 8; DCO( $\Delta J=1$ )=1.14 20.
360.1 3	5.8 9	3581.6	(33/2 <sup>+</sup> )	3221.5	(31/2 <sup>+</sup> )	[M1+E2]	$\delta$ : 0.6 4, assuming K=29/2.
361.7 3	14.1 10	3578.6	37/2 <sup>+</sup>	3216.9	35/2 <sup>+</sup>	M1+E2	$\delta$ : +0.18 2, assuming K=23/2. Mult.: $A_2=+0.40$ 12.
363.7 3	13.6 12	1477.2	(17/2 <sup>-</sup> )	1113.5	(13/2 <sup>-</sup> )		
364.0 3	16.9 11	2699.7	(29/2 <sup>-</sup> )	2335.4	(25/2 <sup>-</sup> )		
364.6 3	7.9 10	3592.9	37/2 <sup>-</sup>	3228.4	35/2 <sup>-</sup>	[M1+E2]	$\delta$ : +0.43 4, assuming K=25/2.
365.7 3	85 4	3104.8	39/2 <sup>+</sup>	2739.1	37/2 <sup>-</sup>	E1	Mult.: $A_2=-0.06$ 3; DCO( $\Delta J=1$ )=0.55 6.
366.2 3	28.9 16	2614.9	(27/2 <sup>-</sup> )	2248.9	29/2 <sup>-</sup>		
366.5 3	11.8 18	3302.1	(35/2 <sup>-</sup> )	2935.6	(33/2 <sup>-</sup> )		
368.0 3	67 3	2335.4	(25/2 <sup>-</sup> )	1967.5	27/2 <sup>-</sup>	M1(+E2)	Mult.: $A_2=+0.32$ 6; DCO( $\Delta J=1$ )=0.89 9.
369.4 3	8.5 9	3948.0	39/2 <sup>+</sup>	3578.6	37/2 <sup>+</sup>	[M1+E2]	$\delta$ : +0.20 2, assuming K=23/2.

Continued on next page (footnotes at end of table)

$^{176}\text{Yb}(^9\text{Be},\text{xn}\gamma)$  **1998Mu14** (continued) $\gamma(^{177}\text{Hf})$  (continued)

$E_\gamma$ †	$I_\gamma$ †	$E_i(\text{level})$	$J_i^\pi$	$E_f$	$J_f^\pi$	Mult. ‡	Comments
375.1 3	37.0 19	3839.7	43/2 <sup>+</sup>	3464.6	41/2 <sup>+</sup>	M1+E2	$\delta$ : +0.63 7, assuming K=39/2. Mult.: $A_2=+0.25$ 3; DCO( $\Delta J=1$ )=0.95 14.
378.4 3	153 5	1086.5	19/2 <sup>+</sup>	708.1	15/2 <sup>+</sup>		
383.3 3	6.5 10	3685.4	(37/2 <sup>-</sup> )	3302.1	(35/2 <sup>-</sup> )	[M1+E2]	$\delta$ : 0.5 3, assuming K=33/2.
384.9 3	262 9	794.2	17/2 <sup>-</sup>	409.23	13/2 <sup>-</sup>	E2	Mult.: $A_2=+0.25$ 2; DCO( $\Delta J=2$ )=0.95 7; DCO( $\Delta J=1$ )=0.97 9.
391.3 3	17.0 12	4231.0	45/2 <sup>+</sup>	3839.7	43/2 <sup>+</sup>	M1+E2	$\delta$ : +0.68 7, assuming K=39/2. Mult.: DCO( $\Delta J=1$ )=1.23 25.
391.6 3	22.6 15	1534.9	(17/2 <sup>-</sup> )	1143.3	(13/2 <sup>-</sup> )		
397.7 3	37.7 25	1712.7	25/2 <sup>-</sup>	1315.0	23/2 <sup>+</sup>	E1	Mult.: $A_2=-0.06$ 5; DCO( $\Delta J=1$ )=0.60 10.
401.3 3	46 3	3140.7	39/2 <sup>-</sup>	2739.1	37/2 <sup>-</sup>	M1+E2	Mult.: DCO( $\Delta J=1$ )=1.10 22.
407.7 3	16.0 13	1565.6	(15/2 <sup>-</sup> )	1157.9	(11/2 <sup>-</sup> )		
408.1 3	8.2 9	4639.4	(47/2 <sup>+</sup> )	4231.0	45/2 <sup>+</sup>	[M1+E2]	$\delta$ : +0.58 9, assuming K=39/2.
418.3 3	134 5	1300.9	21/2 <sup>+</sup>	882.5	17/2 <sup>+</sup>	E2	Mult.: $A_2=+0.19$ 3; DCO( $\Delta J=2$ )=0.93 13; DCO( $\Delta J=1$ )=1.15 13.
420.9 3	38 3	3561.8	41/2 <sup>-</sup>	3140.7	39/2 <sup>-</sup>	M1+E2	$\delta$ : 0.74 23, assuming K=37/2. Mult.: DCO( $\Delta J=1$ )=1.22 25.
424.0 3	0.9 7	5063.7	49/2 <sup>+</sup>	4639.4	(47/2 <sup>+</sup> )		
426.3 3	227 8	1017.5	19/2 <sup>-</sup>	591.2	15/2 <sup>-</sup>	E2	Mult.: DCO( $\Delta J=2$ )=0.89 5; DCO( $\Delta J=1$ )=1.07 15.
440.0 3	13.5 19	4001.4	43/2 <sup>-</sup>	3561.8	41/2 <sup>-</sup>	M1+E2	$\delta$ : 0.74 16, assuming K=37/2. Mult.: DCO( $\Delta J=1$ )=1.1 3.
441.6 3	16.8 13	2409.1	(27/2 <sup>-</sup> )	1967.5	27/2 <sup>-</sup>		
448.1 3	7.4 9	1925.3	(21/2 <sup>-</sup> )	1477.2	(17/2 <sup>-</sup> )		
450.8 3	5.6 11	2699.7	(29/2 <sup>-</sup> )	2248.9	29/2 <sup>-</sup>		
458.0 3	3.2 11	4459.1	45/2 <sup>-</sup>	4001.4	43/2 <sup>-</sup>		
465.7 3	181 6	1259.9	21/2 <sup>-</sup>	794.2	17/2 <sup>-</sup>	E2	Mult.: $A_2=+0.15$ 3; DCO( $\Delta J=2$ )=0.81 5; DCO( $\Delta J=1$ )=1.01 13.
470.2 3	17.2 12	2005.1	(21/2 <sup>-</sup> )	1534.9	(17/2 <sup>-</sup> )		
474.4 3	92 3	1560.8	23/2 <sup>+</sup>	1086.5	19/2 <sup>+</sup>	E2	Mult.: $A_2=+0.15$ 3; DCO( $\Delta J=2$ )=1.03 14; DCO( $\Delta J=1$ )=1.26 16.
483.6 3	16.9 12	2049.2	(19/2 <sup>-</sup> )	1565.6	(15/2 <sup>-</sup> )		
501.6 3	83 3	1802.5	25/2 <sup>+</sup>	1300.9	21/2 <sup>+</sup>	E2	Mult.: DCO( $\Delta J=2$ )=0.83 12; DCO( $\Delta J=1$ )=0.95 14.
502.9 3	156 6	1520.4	23/2 <sup>-</sup>	1017.5	19/2 <sup>-</sup>	E2	Mult.: DCO( $\Delta J=2$ )=0.87 5.
503.4 3	7 4	1845.7	23/2 <sup>-</sup>	1342.2	(19/2 <sup>-</sup> )		
508.1 3	6.9 16	508.1	5/2 <sup>-</sup>	0.0	7/2 <sup>-</sup>		
526.1 3	4.0 7	2451.4	(25/2 <sup>-</sup> )	1925.3	(21/2 <sup>-</sup> )		
534.0 3	8.4 9	2539.1	(25/2 <sup>-</sup> )	2005.1	(21/2 <sup>-</sup> )		
536.3 3	21.1 16	2248.9	29/2 <sup>-</sup>	1712.7	25/2 <sup>-</sup>		
537.9 3	112 4	1797.8	25/2 <sup>-</sup>	1259.9	21/2 <sup>-</sup>	E2	Mult.: $A_2=+0.27$ 3; DCO( $\Delta J=2$ )=0.95 7; DCO( $\Delta J=1$ )=0.86 22.
541.0 3	10.6 18	2123.7	25/2 <sup>-</sup>	1582.7	21/2 <sup>-</sup>		
541.6 3	7.1 9	2590.8	(23/2 <sup>-</sup> )	2049.2	(19/2 <sup>-</sup> )		
548.0 3		1342.2	(19/2 <sup>-</sup> )	794.2	17/2 <sup>-</sup>		$E_\gamma$ : From adopted gammas.
567.1 3	50.0 21	2128.0	27/2 <sup>+</sup>	1560.8	23/2 <sup>+</sup>		
570.4 3	86 3	2090.8	27/2 <sup>-</sup>	1520.4	23/2 <sup>-</sup>	E2	Mult.: DCO( $\Delta J=2$ )=1.02 7.
570.5 3	10.5 16	2416.3	27/2 <sup>-</sup>	1845.7	23/2 <sup>-</sup>		
572.3 3	26 3	1887.3	27/2 <sup>+</sup>	1315.0	23/2 <sup>+</sup>		
575.0 3	46.7 21	2377.5	29/2 <sup>+</sup>	1802.5	25/2 <sup>+</sup>	E2	Mult.: DCO( $\Delta J=2$ )=0.9 3; DCO( $\Delta J=1$ )=0.73 16.
586.7 3	27.7 17	2554.2	31/2 <sup>-</sup>	1967.5	27/2 <sup>-</sup>	E2	Mult.: DCO( $\Delta J=1$ )=0.72 17.
594.4 3	4.0 7	3133.5	(29/2 <sup>-</sup> )	2539.1	(25/2 <sup>-</sup> )		
600.5 3	13.7 17	2724.2	29/2 <sup>-</sup>	2123.7	25/2 <sup>-</sup>		
600.9 3	71 3	2398.7	29/2 <sup>-</sup>	1797.8	25/2 <sup>-</sup>	E2	Mult.: DCO( $\Delta J=2$ )=1.17 10.
606.3 3	44 3	2198.7	29/2 <sup>+</sup>	1592.3	25/2 <sup>+</sup>		
623.1 3	19.7 16	2335.4	(25/2 <sup>-</sup> )	1712.7	25/2 <sup>-</sup>		
628.9 3	40.0 19	2719.7	31/2 <sup>-</sup>	2090.8	27/2 <sup>-</sup>	E2	Mult.: DCO( $\Delta J=2$ )=1.41 16.
630.5 3	5.7 13	3047.1	(31/2 <sup>-</sup> )	2416.3	27/2 <sup>-</sup>		

Continued on next page (footnotes at end of table)

$^{176}\text{Yb}(^9\text{Be},\text{xn}\gamma)$  **1998Mu14** (continued) $\gamma(^{177}\text{Hf})$  (continued)

$E_\gamma$ <sup>†</sup>	$I_\gamma$ <sup>†</sup>	$E_i(\text{level})$	$J_i^\pi$	$E_f$	$J_f^\pi$	Mult. <sup>‡</sup>	Comments
632.6 3	25.2 15	2881.5	33/2 <sup>-</sup>	2248.9	29/2 <sup>-</sup>	E2	Mult.: DCO( $\Delta J=1$ )=0.77 17.
637.8 3	30.1 22	2525.1	31/2 <sup>+</sup>	1887.3	27/2 <sup>+</sup>		
637.8 3	20.9 13	3015.3	33/2 <sup>+</sup>	2377.5	29/2 <sup>+</sup>	E2	Mult.: DCO( $\Delta J=2$ )=1.3 3; DCO( $\Delta J=1$ )=1.1 4.
647.1 3	17.7 15	2614.9	(27/2 <sup>-</sup> )	1967.5	27/2 <sup>-</sup>		
654.6 3	14.6 12	2782.6	31/2 <sup>+</sup>	2128.0	27/2 <sup>+</sup>	E2	Mult.: DCO( $\Delta J=2$ )=0.95 17.
654.6 3	22.7 14	3053.3	33/2 <sup>-</sup>	2398.7	29/2 <sup>-</sup>	E2	Mult.: DCO( $\Delta J=2$ )=0.71 20; DCO( $\Delta J=1$ )=0.9 4.
659.6 3	7.7 11	2908.5	(29/2 <sup>-</sup> )	2248.9	29/2 <sup>-</sup>		
662.9 3	9.8 10	3217.1	(31/2 <sup>-</sup> )	2554.2	31/2 <sup>-</sup>		
666.2 3	16.9 15	2865.0	33/2 <sup>+</sup>	2198.7	29/2 <sup>+</sup>	E2	Mult.: DCO( $\Delta J=1$ )=1.36 42.
674.2 3	5.4 12	2872.9	(29/2 <sup>+</sup> )	2198.7	29/2 <sup>+</sup>		
674.2 3	14.9 11	3228.4	35/2 <sup>-</sup>	2554.2	31/2 <sup>-</sup>	E2	Mult.: DCO( $\Delta J=1$ )=0.70 14.
678.8 3	13.5 11	3398.5	35/2 <sup>-</sup>	2719.7	31/2 <sup>-</sup>	E2	Mult.: DCO( $\Delta J=2$ )=1.04 19.
687.6 3	4.7 8	3702.9	37/2 <sup>+</sup>	3015.3	33/2 <sup>+</sup>	E2	Mult.: DCO( $\Delta J=2$ )=1.2 4.
691.8 3	9.4 12	3216.9	35/2 <sup>+</sup>	2525.1	31/2 <sup>+</sup>	E2	Mult.: DCO( $\Delta J=1$ )=0.77 21.
696.0 3	10.8 13	2409.1	(27/2 <sup>-</sup> )	1712.7	25/2 <sup>-</sup>		
700.0 3	8.2 9	3753.3	37/2 <sup>-</sup>	3053.3	33/2 <sup>-</sup>	E2	Mult.: DCO( $\Delta J=2$ )=0.77 23.
709.6 <sup>#</sup> 3	<2	3581.6	(33/2 <sup>+</sup> )	2872.9	(29/2 <sup>+</sup> )		
711.2 3	9.1 10	3592.9	37/2 <sup>-</sup>	2881.5	33/2 <sup>-</sup>	E2	Mult.: DCO( $\Delta J=1$ )=1.2 3.
713.6 3	4.9 10	3578.6	37/2 <sup>+</sup>	2865.0	33/2 <sup>+</sup>		
722.2 3	2.0 7	4120.7	39/2 <sup>-</sup>	3398.5	35/2 <sup>-</sup>		
730.7 <sup>#</sup> 3	4.2 9	3948.0	39/2 <sup>+</sup>	3216.9	35/2 <sup>+</sup>		
732 1		2699.7	(29/2 <sup>-</sup> )	1967.5	27/2 <sup>-</sup>		
734.7 3	2.2 8	3517.3	35/2 <sup>+</sup>	2782.6	31/2 <sup>+</sup>	E2	Mult.: DCO( $\Delta J=2$ )=1.1 5.
734.9 3	8.6 16	3839.7	43/2 <sup>+</sup>	3104.8	39/2 <sup>+</sup>		
744.1 3	0.8 6	4497.4	41/2 <sup>-</sup>	3753.3	37/2 <sup>-</sup>		
753.4 <sup>#</sup> 3	<1.0	3685.4	(37/2 <sup>-</sup> )	2935.6	(33/2 <sup>-</sup> )	[E2]	
766.5 3	8.9 13	4231.0	45/2 <sup>+</sup>	3464.6	41/2 <sup>+</sup>		
799.6 3	5.3 10	4639.4	(47/2 <sup>+</sup> )	3839.7	43/2 <sup>+</sup>		
823.0 3	11 6	3561.8	41/2 <sup>-</sup>	2739.1	37/2 <sup>-</sup>		
833.1 3	3.3 10	5063.7	49/2 <sup>+</sup>	4231.0	45/2 <sup>+</sup>		
860.5 3	8.4 20	4001.4	43/2 <sup>-</sup>	3140.7	39/2 <sup>-</sup>		
897.1 3	0.4 4	4459.1	45/2 <sup>-</sup>	3561.8	41/2 <sup>-</sup>		
985.6 3	13.9 19	2872.9	(29/2 <sup>+</sup> )	1887.3	27/2 <sup>+</sup>		

<sup>†</sup> From 1998Mu14.  $\Delta E_\gamma$  were estimated by the evaluator.

<sup>‡</sup> From 1998Mu14, unless otherwise stated. The assignment is based on the measured angular distributions and DCO ratios, the apparent band structures with both cascade ( $\Delta J$ ) and crossover ( $\Delta J=2$ ) transitions, and the complex  $\gamma$ -ray decay pattern. When gated on  $\Delta J=1$  or  $\Delta J=2$  transition the DCO ratios is labeled as DCO( $\Delta J=1$ ) or DCO( $\Delta J=2$ ), respectively.

<sup>#</sup> Placement of transition in the level scheme is uncertain.

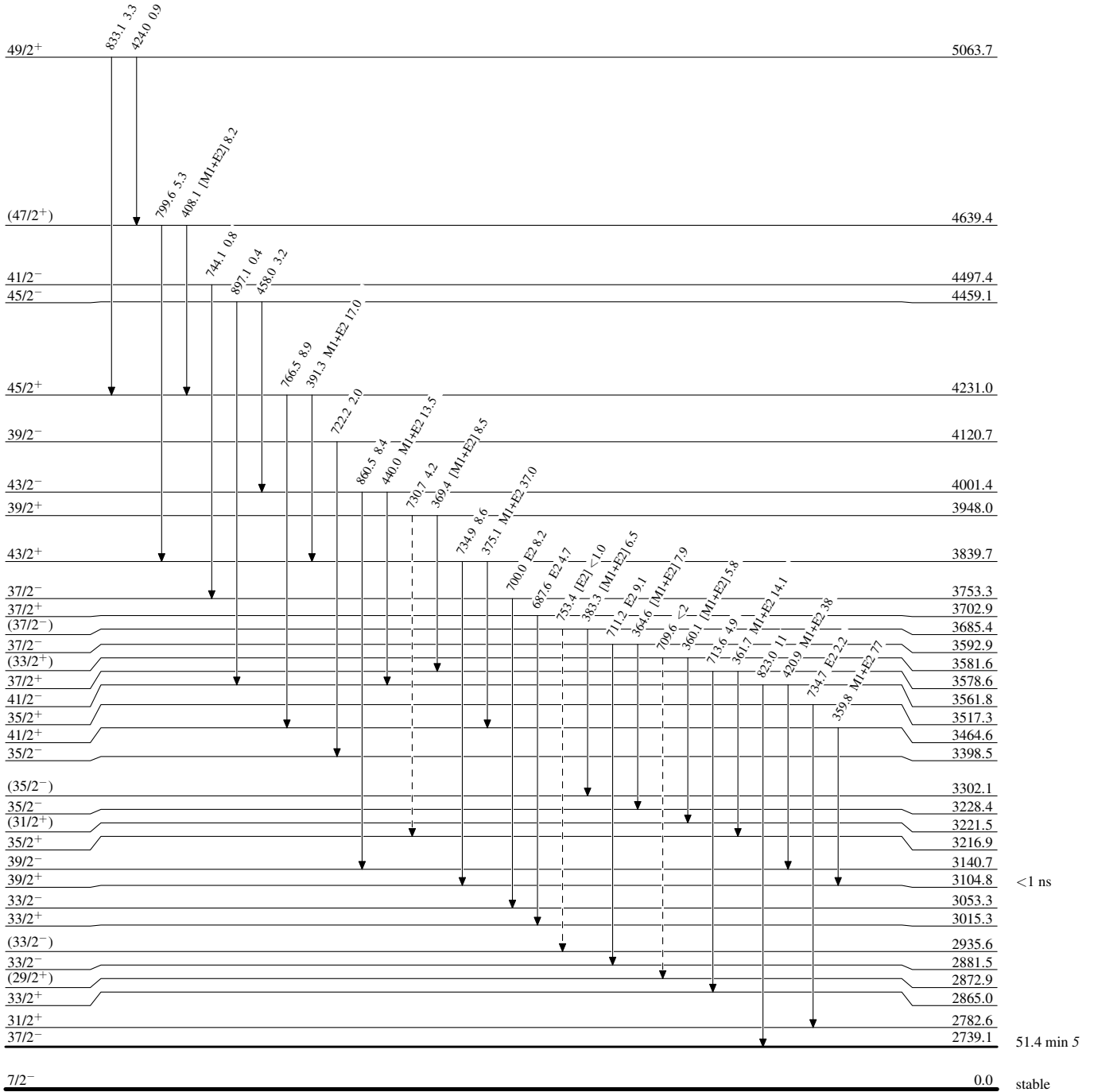
$^{176}\text{Yb}(^9\text{Be},\text{xn}\gamma)$  1998Mu14

Legend

## Level Scheme

Intensities: Relative  $I_\gamma$ 

- $\rightarrow$   $I_\gamma < 2\% \times I_\gamma^{\text{max}}$
- $\rightarrow$   $I_\gamma < 10\% \times I_\gamma^{\text{max}}$
- $\rightarrow$   $I_\gamma > 10\% \times I_\gamma^{\text{max}}$
- - -  $\rightarrow$   $\gamma$  Decay (Uncertain)

 $^{177}_{72}\text{Hf}_{105}$



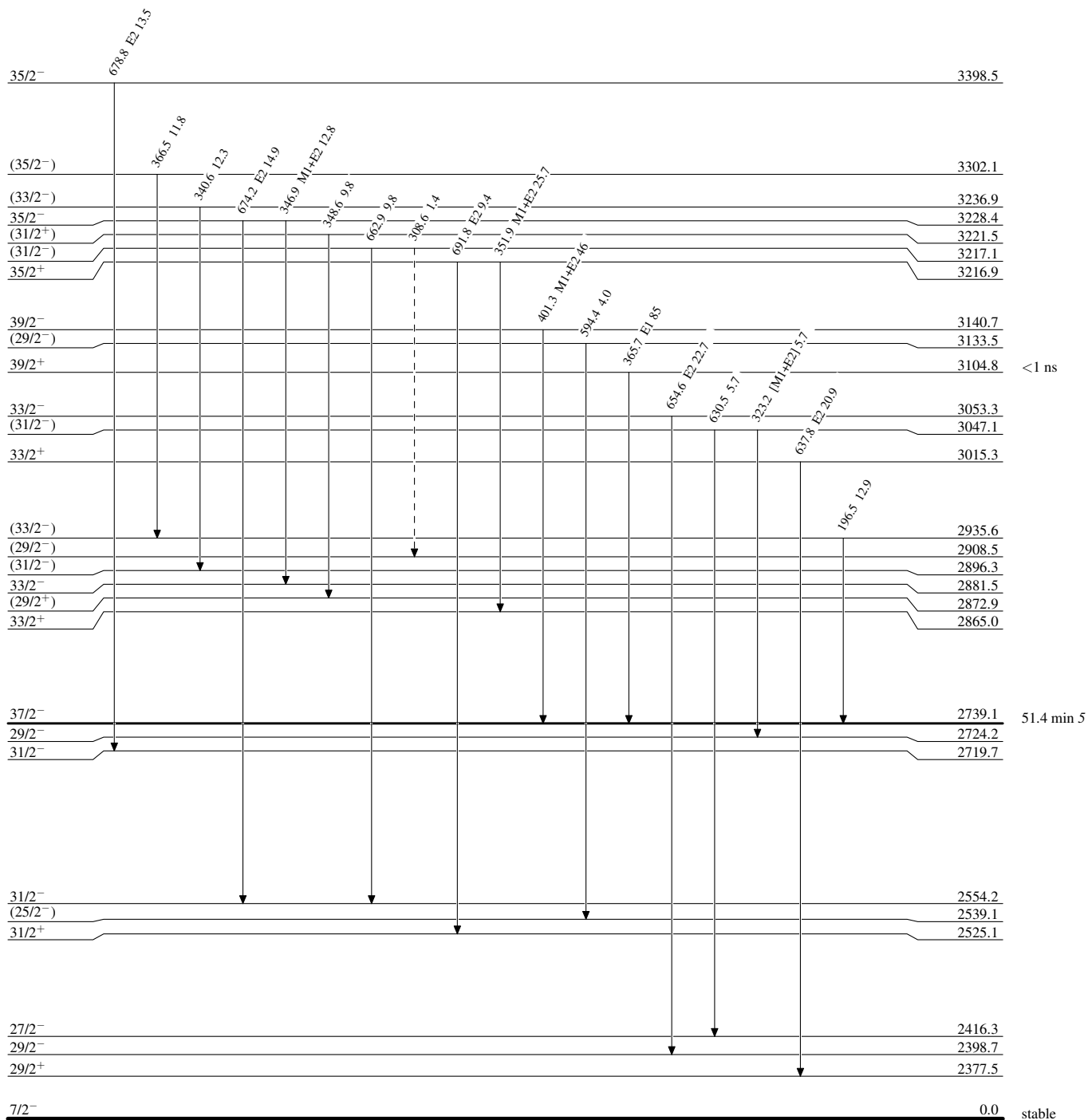
$^{176}\text{Yb}(^9\text{Be},\text{xn}\gamma)$  1998Mu14

Legend

## Level Scheme (continued)

Intensities: Relative  $I_\gamma$ 

- $I_\gamma < 2\% \times I_\gamma^{\text{max}}$
- $I_\gamma < 10\% \times I_\gamma^{\text{max}}$
- $I_\gamma > 10\% \times I_\gamma^{\text{max}}$
- - -→  $\gamma$  Decay (Uncertain)

 $^{177}_{72}\text{Hf}_{105}$

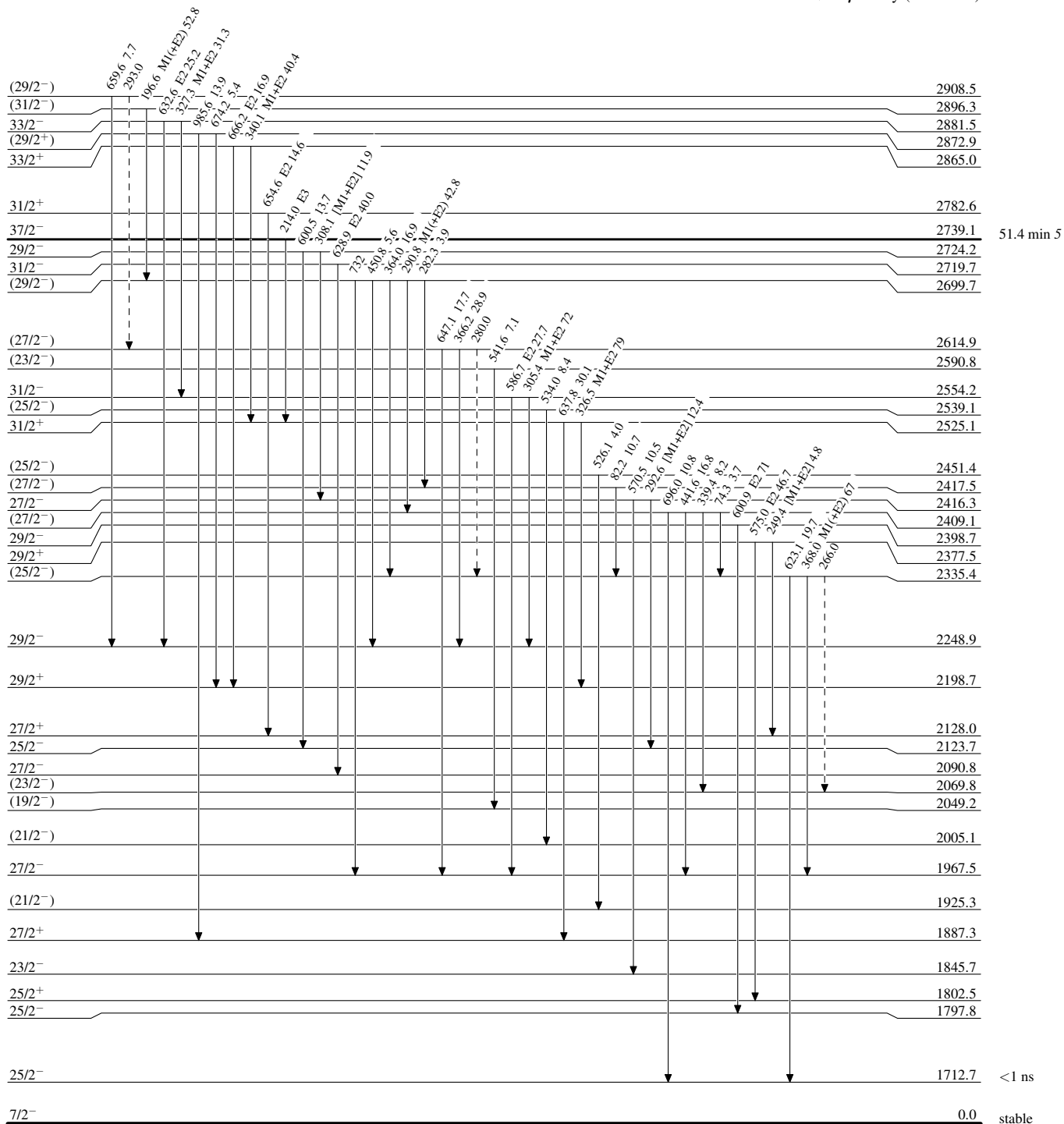
$^{176}\text{Yb}(^9\text{Be},\text{xn}\gamma)$  1998Mu14

## Level Scheme (continued)

Intensities: Relative  $I_\gamma$ 

## Legend

- $I_\gamma < 2\% \times I_\gamma^{\text{max}}$
- $I_\gamma < 10\% \times I_\gamma^{\text{max}}$
- $I_\gamma > 10\% \times I_\gamma^{\text{max}}$
- - - - -  $\gamma$  Decay (Uncertain)

 $^{177}_{72}\text{Hf}_{105}$

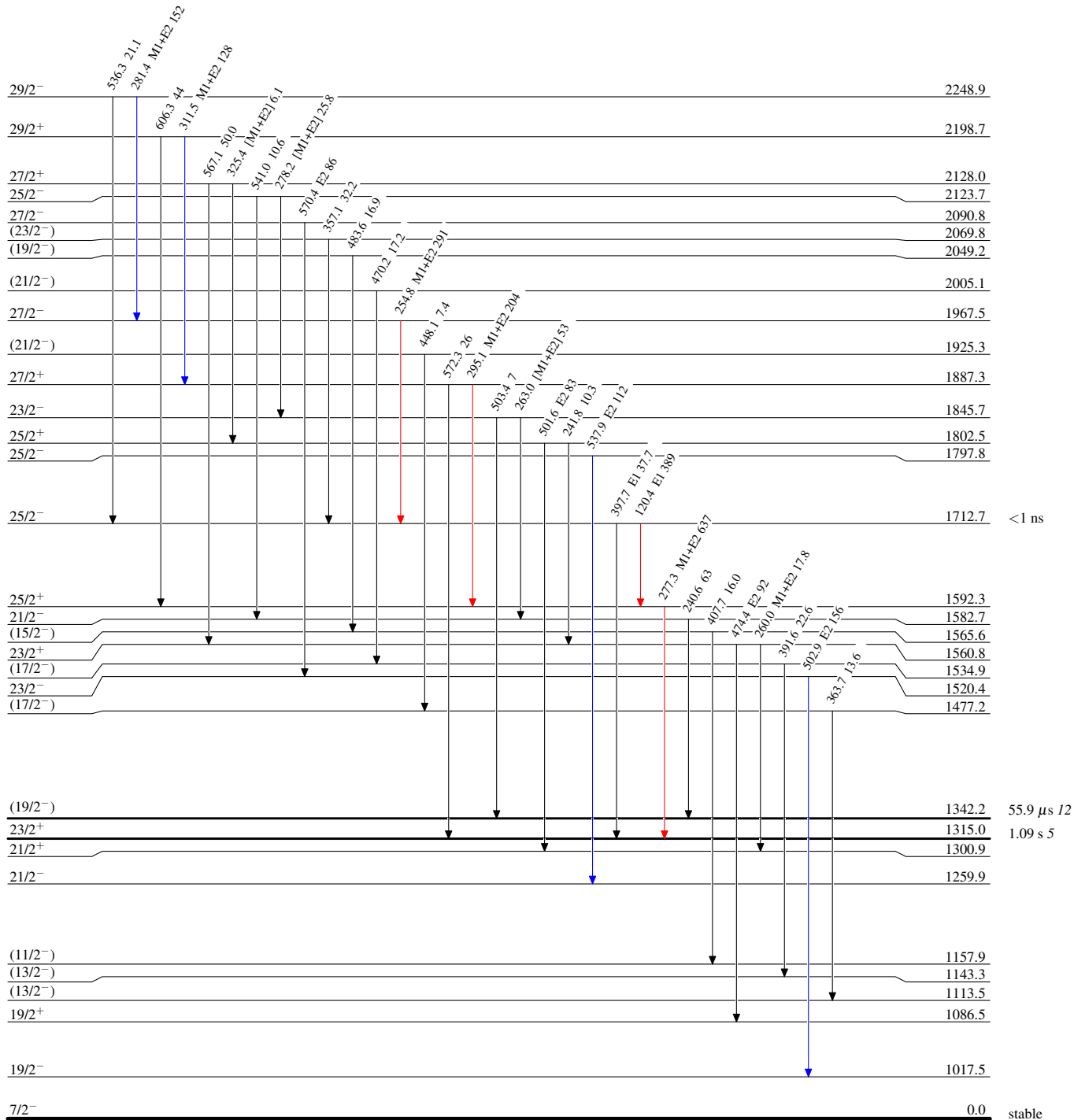
$^{176}\text{Yb}(^9\text{Be},\text{xn}\gamma)$  1998Mu14

Level Scheme (continued)

Intensities: Relative  $I_\gamma$

Legend

- $I_\gamma < 2\% \times I_\gamma^{\text{max}}$
- $I_\gamma < 10\% \times I_\gamma^{\text{max}}$
- $I_\gamma > 10\% \times I_\gamma^{\text{max}}$



$^{177}_{72}\text{Hf}_{105}$

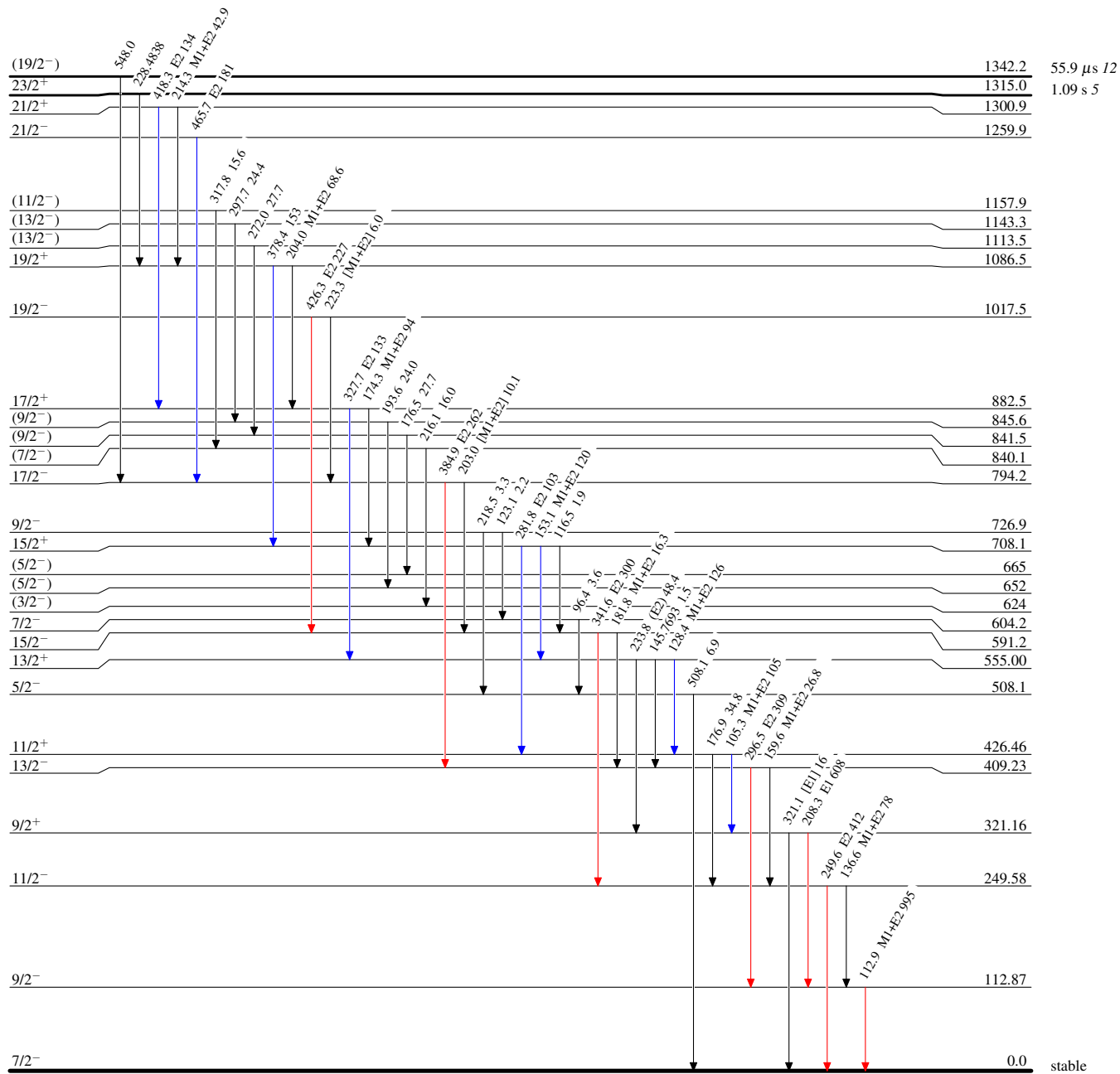
$^{176}\text{Yb}(^9\text{Be},\text{xn}\gamma)$  1998Mu14

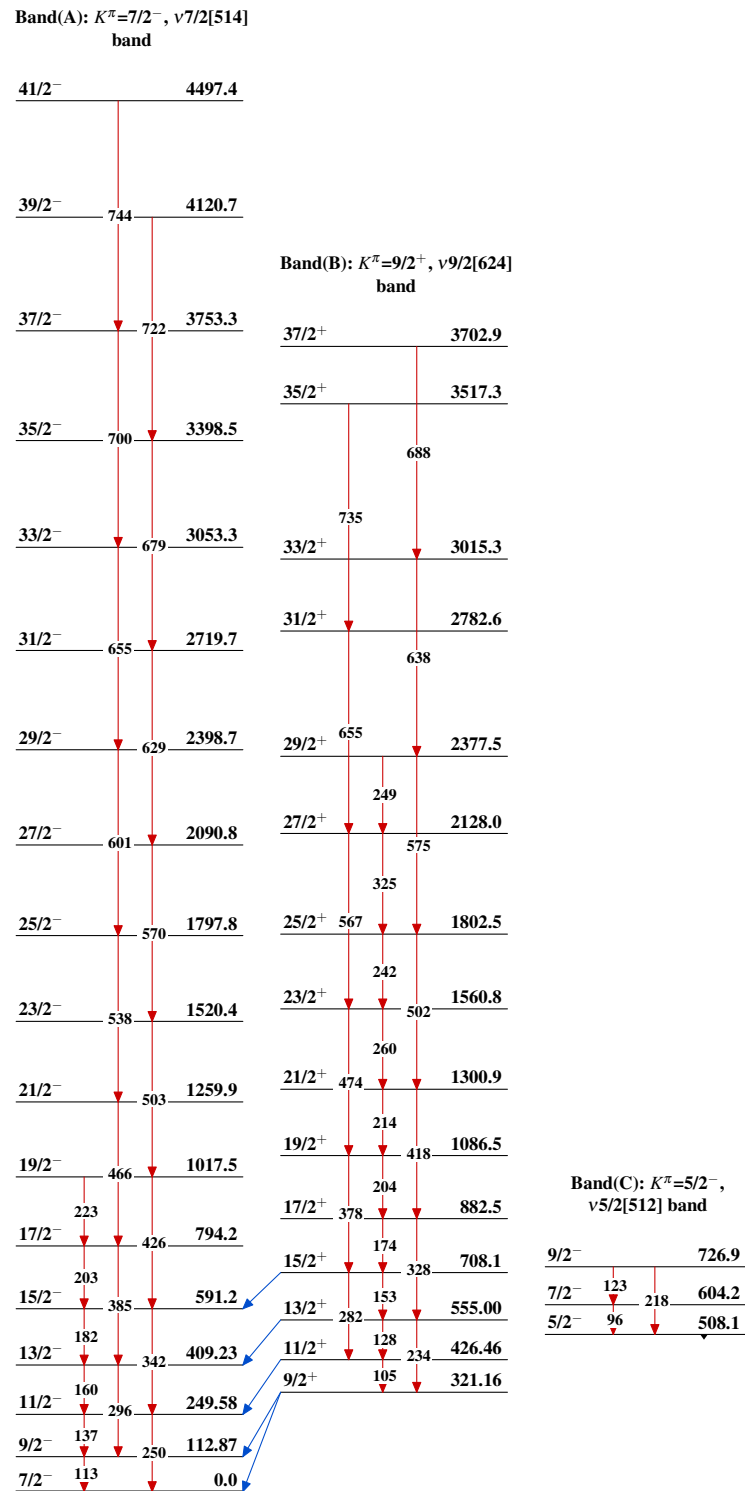
Level Scheme (continued)

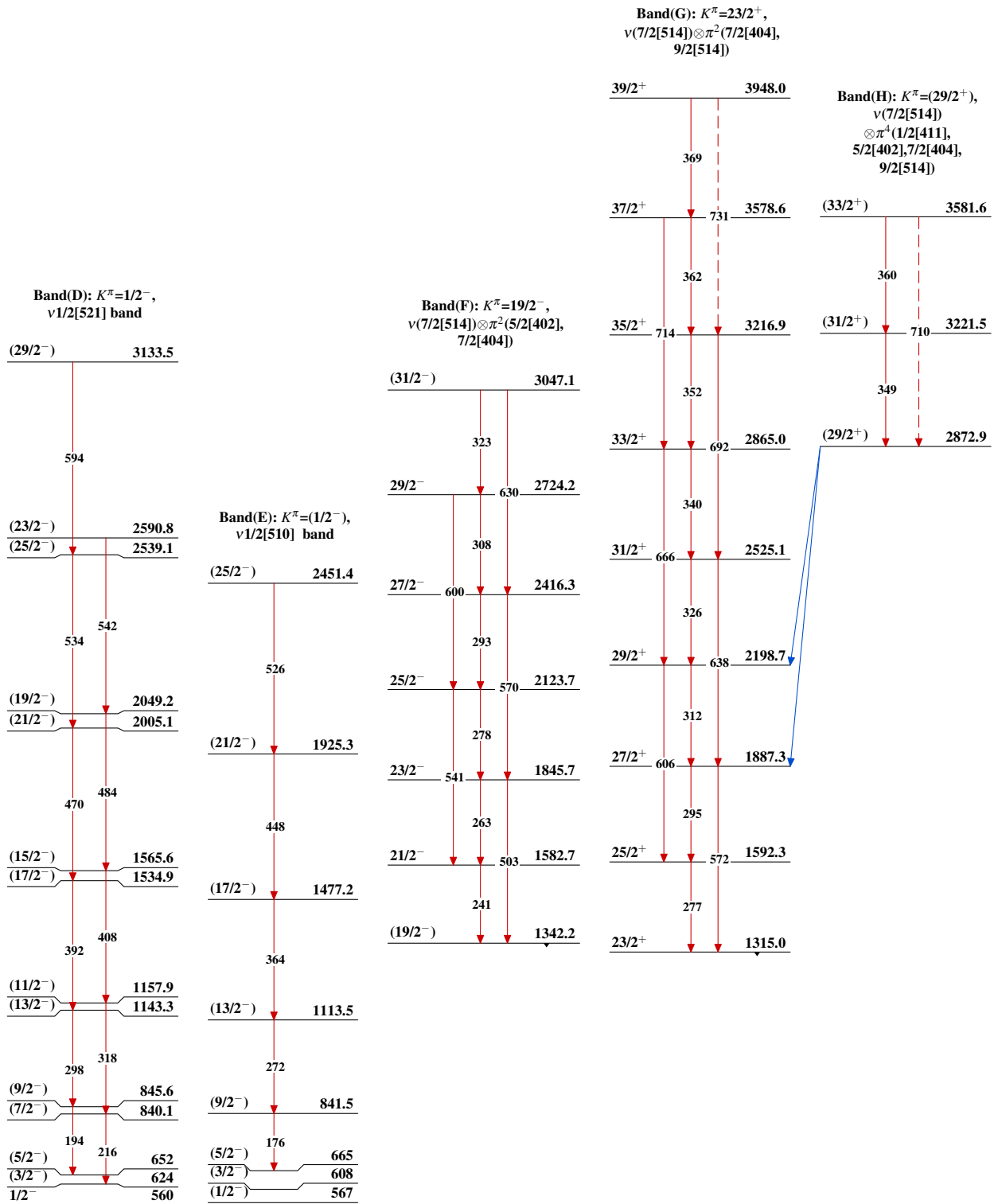
Intensities: Relative  $I_\gamma$

Legend

- $I_\gamma < 2\% \times I_\gamma^{\text{max}}$
- $I_\gamma < 10\% \times I_\gamma^{\text{max}}$
- $I_\gamma > 10\% \times I_\gamma^{\text{max}}$



$^{176}\text{Yb}(\text{Be}, \text{xn}\gamma)$  1998Mu14 $^{177}_{72}\text{Hf}_{105}$

$^{176}\text{Yb}(^9\text{Be},\text{xn}\gamma)$  1998Mu14 (continued)

$^{176}\text{Yb}(\text{}^9\text{Be}, \text{xn}\gamma)$  1998Mu14 (continued)